

混沌系统的 Koopman 分析与应用

复杂系统的边界点划分

张聪

指导教师: 兰岳恒
北京邮电大学理学院

理学硕士学位论文答辩
2020-09-30



目录

① 研究背景与意义



目录

- ① 研究背景与意义
- ② Koopman 算符介绍
 - 定义
 - Koopman 算符的本征函数
 - 常见的混沌系统
 - 一维映射：Logistic Map
 - 一维映射：Tent Map
 - 二维映射：Henon Map
 - 三维流：Lorenz System



目录

- ① 研究背景与意义
- ② Koopman 算符介绍
 - 定义
 - Koopman 算符的本征函数
 - 常见的混沌系统
 - 一维映射：Logistic Map
 - 一维映射：Tent Map
 - 二维映射：Henon Map
 - 三维流：Lorenz System
- ③ 进展情况总结



目录

- ① 研究背景与意义
- ② Koopman 算符介绍
 - 定义
 - Koopman 算符的本征函数
 - 常见的混沌系统
 - 一维映射: Logistic Map
 - 一维映射: Tent Map
 - 二维映射: Henon Map
 - 三维流: Lorenz System
- ③ 进展情况总结
- ④ 阶段性工作成果汇报: Koopman 算符与相空间的划分



目录

- ① 研究背景与意义
- ② Koopman 算符介绍
 - 定义
 - Koopman 算符的本征函数
 - 常见的混沌系统
 - 一维映射：Logistic Map
 - 一维映射：Tent Map
 - 二维映射：Henon Map
 - 三维流：Lorenz System
- ③ 进展情况总结
- ④ 阶段性工作成果汇报：Koopman 算符与相空间的划分
- ⑤ 计划进度及安排



目录

- ① 研究背景与意义
- ② Koopman 算符介绍
 - 定义
 - Koopman 算符的本征函数
 - 常见的混沌系统
 - 一维映射：Logistic Map
 - 一维映射：Tent Map
 - 二维映射：Henon Map
 - 三维流：Lorenz System
- ③ 进展情况总结
- ④ 阶段性工作成果汇报：Koopman 算符与相空间的划分
- ⑤ 计划进度及安排
- ⑥ 仍需思考并完善的问题



目录

- ① 研究背景与意义
- ② Koopman 算符介绍
 - 定义
 - Koopman 算符的本征函数
 - 常见的混沌系统
 - 一维映射：Logistic Map
 - 一维映射：Tent Map
 - 二维映射：Henon Map
 - 三维流：Lorenz System
- ③ 进展情况总结
- ④ 阶段性工作成果汇报：Koopman 算符与相空间的划分
- ⑤ 计划进度及安排
- ⑥ 仍需思考并完善的问题
- ⑦ 参考文献



本节目录

- ① 研究背景与意义
- ② Koopman 算符介绍
 - 定义
 - Koopman 算符的本征函数
 - 常见的混沌系统
 - 一维映射：Logistic Map
 - 一维映射：Tent Map
 - 二维映射：Henon Map
 - 三维流：Lorenz System
- ③ 进展情况总结
- ④ 阶段性工作成果汇报：Koopman 算符与相空间的划分
- ⑤ 计划进度及安排
- ⑥ 仍需思考并完善的问题
- ⑦ 参考文献



研究背景与意义

研究背景

- ① 信息时代 → 信息 → 数据 → 数据分析
- ② 动力学系统 → 线性、非线性
- ③ 非线性动力学
- ④ 动力学系统的数值计算
- ⑤ Koopman 算符 → 提取系统的关键特征

意义：通过 Koopman 算符分析系统关键特征

我们希望能够找到一种方法，仅通过系统数据的演化过程得到系统的一些演化特征，并在这些演化特征中提取出关键特征。

Koopman 算符给我们提供了一个有效的数学工具。Koopman 算法由 B.O.Koopman 与 1931 年引入，它作用在某个函数上，描述了函数的演化。若将系统的特性数据演化视为函数的演化，我们即可以用 Koopman 算符分析系统的特征。



本节目录

- ① 研究背景与意义
- ② Koopman 算符介绍
 - 定义
 - Koopman 算符的本征函数
 - 常见的混沌系统
 - 一维映射: Logistic Map
 - 一维映射: Tent Map
 - 二维映射: Henon Map
 - 三维流: Lorenz System
- ③ 进展情况总结
- ④ 阶段性工作成果汇报: Koopman 算符与相空间的划分
- ⑤ 计划进度及安排
- ⑥ 仍需思考并完善的问题
- ⑦ 参考文献



Koopman 算符

Koopman 算符定义

$$Uf(x) = f(T(x)) = \tilde{f}(x)$$

对于固定的时间 t , 上式可写为

$$U_t f(x) = f(T_t(x)) = \tilde{f}_t(x)$$

举例

对于一个函数: $f(x) = x^2$

动力学方程: $\dot{x} = -2x \rightarrow x(t) = x(0)e^{-2t} \rightarrow T_t(x) = xe^{-2t}$

Koopman 算符: $U_t f(x) = f(T_t(x)) = f(xe^{-2t}) = x^2 e^{-4t} = \tilde{f}(x)$

- Koopman 算符描述了方程的演化



Koopman 算符在函数空间上的描述

对于一个可观测量函数 $f(x)$, 自变量经过时间 t 的演化变为 $\tilde{f}(x)$

$$f(x) \xrightarrow{t} \tilde{f}(x)$$

用 Koopman 算符可表示为

$$Uf(x_p) = f(x_{p+1}) = \tilde{f}(x_p)$$

其中 p 表示时间因子, 在 m 维函数空间中将可观测量展开

$$f(x_p) = \sum_{i=1}^m \alpha_i g_i(x_p)$$

则

$$Uf(x_p) = \sum_{i=1}^m \alpha_i U g_i(x_p) = \sum_{i=1}^m \alpha_i \tilde{g}_i(x_p) = \tilde{f}(x_p)$$

$$Uf(x_p) = \sum_{i=1}^m \alpha_i g_i(x_{p+1}) = f(x_{p+1})$$



Koopman 算符的本征值和本征函数

本征函数的定义

$$U\phi_k(x) = \phi_k(T(x)) = \lambda_k\phi_k(x)$$

在函数空间中

$$\phi(x) = \sum_{i=1}^m a_i g_i(x)$$

$$U\phi(x) = \sum_{i=1}^m a_i U g_i(x) = \sum_{i=1}^m a_i \tilde{g}_i(x)$$

$$U\phi(x) = \lambda(x) = \sum_{i=1}^m \lambda a_i g_i(x)$$



本征函数的性质

根据本征函数的定义, 我们有

$$\phi_k(x_p) = U\phi_k(x_{p-1}) = \lambda\phi_k(x_{p-1}) = \cdots = \lambda^p\phi_k(x_0)$$

当 $\lambda = 1$ 时,

$$\phi_k(x_p) = \phi_k(x_{p-1}) = \cdots = \phi_k(x_0)$$

- 本征值 $\lambda = 1$ 下的本征函数中, 函数值相等的点属于一个不变集。
- 在动力学系统中, 不变集与不动点和周期轨道密切相关



Koopman 算符的本征函数的计算

Koopman 算符作用在一组基函数上可得到一组基函数的演化，
即

$$U(g_1(x), g_2(x), \cdots, g_m(x)) = (\tilde{g}_1(x), \tilde{g}_2(x), \cdots, \tilde{g}_m(x))$$

简记为

$$UK = L$$

其中

$$K = (g_1(x_p), g_2(x_p), \cdots, g_m(x_p)) = \begin{pmatrix} g_1(x_{p_1}) & g_2(x_{p_1}) & \cdots & g_m(x_{p_1}) \\ g_1(x_{p_2}) & g_2(x_{p_2}) & \cdots & g_m(x_{p_2}) \\ \vdots & \vdots & \ddots & \vdots \\ g_1(x_{p_n}) & g_2(x_{p_n}) & \cdots & g_m(x_{p_n}) \end{pmatrix} \quad (1)$$

$$L = (\tilde{g}_1(x_p), \tilde{g}_2(x_p), \cdots, \tilde{g}_m(x_p)) = \begin{pmatrix} \tilde{g}_1(x_{p_1}) & \tilde{g}_2(x_{p_1}) & \cdots & \tilde{g}_m(x_{p_1}) \\ \tilde{g}_1(x_{p_2}) & \tilde{g}_2(x_{p_2}) & \cdots & \tilde{g}_m(x_{p_2}) \\ \vdots & \vdots & \ddots & \vdots \\ \tilde{g}_1(x_{p_n}) & \tilde{g}_2(x_{p_n}) & \cdots & \tilde{g}_m(x_{p_n}) \end{pmatrix} \quad (2)$$

$$L = (g_1(x_{p+1}), g_2(x_{p+1}), \cdots, g_m(x_{p+1})) = \begin{pmatrix} g_1(x_{p_1+1}) & g_2(x_{p_1+1}) & \cdots & g_m(x_{p_1+1}) \\ g_1(x_{p_2+1}) & g_2(x_{p_2+1}) & \cdots & g_m(x_{p_2+1}) \\ \vdots & \vdots & \ddots & \vdots \\ g_1(x_{p_n+1}) & g_2(x_{p_n+1}) & \cdots & g_m(x_{p_n+1}) \end{pmatrix} \quad (3)$$



Koopman 分析的步骤

- ① 获得系统的特征数据 x_p, x_{p+1}
- ② 选取合适的基函数空间 $g(x)$ (基函数形式、函数格点、演化格点)
- ③ 确定某时刻的数据矩阵 K 及演化之后的数据矩阵 L
- ④ 通过 $UK = L$ 计算出 Koopman 算符的矩阵表示
- ⑤ 计算出 Koopman 算符的本征值 λ 和 $\phi(x)$
- ⑥ 找到我们关心的 λ 和 $\phi(x)$ (如 $|\lambda| = 1$)
- ⑦ 系统特征分析



Logistic Map

动力学方程

$$x_{n+1} = f(x_n) = \gamma x_n(1 - x_n)$$

$$x_n \in [0, 1], n = 1, 2, 3, \dots$$

这里我们取 $\gamma = 4$, 使该系统处于混沌状态。

两个不动点: 0 和 $\frac{3}{4}$ 。

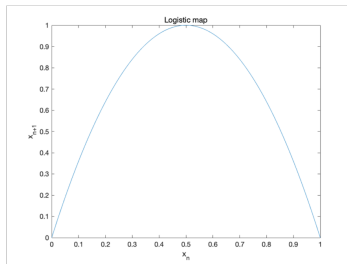


图 1: Logistic map 相图

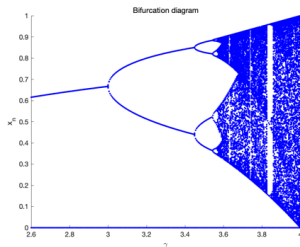


图 2: Logistic map 分岔图

Tent Map

动力学方程

$$x_{n+1} = f(x_n) = 1 - 2|x - \frac{1}{2}|$$

$$x_n \in [0, 1], n = 1, 2, 3, \dots$$

两个不动点: 0 和 $\frac{2}{3}$

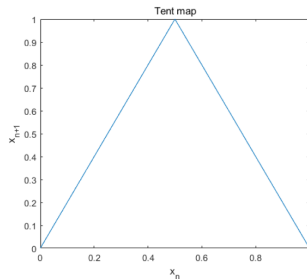


图 3: Tent map 相图



Henon Map

动力学方程

$$\begin{cases} x_{n+1} = y_n + 1 - ax_n^2 \\ y_{n+1} = bx_n \end{cases} \quad x, y \in [-1.5, 1.5]$$

我们选取 $a=1.4, b=0.3$ 使其处于混沌状态。

两个不动点: $(0.6314, 0.1894)$ 和 $(-1.1314, -0.3394)$

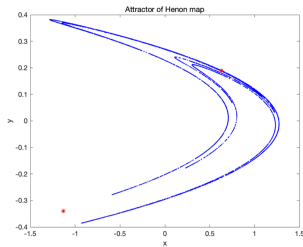


图 4: Henon map 相图

Lorenz System

动力学方程

$$\begin{cases} \dot{x} = \sigma(y - x) \\ \dot{y} = x(\gamma - z) - y \\ \dot{z} = xy - \beta z \end{cases}$$

取 $\beta = \frac{8}{3}, \rho = 28, \sigma = 10$ 使系统处于混沌状态, 初始点 $(-1, 3, 4)$
三个不动点: $(0, 0, 0)$ 、 $(-8.4853, 8.4853, 27)$ 、 $(8.4853, -8.4853, 27)$

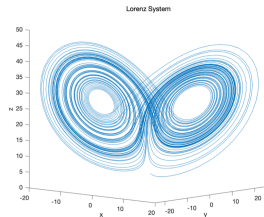


图 5: Lorenz System 相图



本节目录

- ① 研究背景与意义
- ② Koopman 算符介绍
 - 定义
 - Koopman 算符的本征函数
 - 常见的混沌系统
 - 一维映射：Logistic Map
 - 一维映射：Tent Map
 - 二维映射：Henon Map
 - 三维流：Lorenz System
- ③ 进展情况总结
- ④ 阶段性工作成果汇报：Koopman 算符与相空间的划分
- ⑤ 计划进度及安排
- ⑥ 仍需思考并完善的问题
- ⑦ 参考文献



进展总结

- 1 Koopman 算符提供了一个有效的数学工具，作用于某个函数并描述了该函数的演化。
- 2 若将系统特征数据的演化看作为相空间的函数的演化，则可以用 Koopman 算符分析系统的演化特征，进一步提取关键特性，并在一定程度上预测系统的长期行为。
- 3 本征函数值相等的点属于一个不变集。在动力学系统中，不变集与周期轨道密切相关。
- 4 Koopman 算符本征函数值的“极值点”在某些情况下与系统的“边界点”非常吻合。“边界点”反映了动力学系统的符号动力学划分，而符号动力学的划分可以预测系统的长期行为。
- 5 适用于任何动力学系统



本节目录

- ① 研究背景与意义
- ② Koopman 算符介绍
 - 定义
 - Koopman 算符的本征函数
 - 常见的混沌系统
 - 一维映射：Logistic Map
 - 一维映射：Tent Map
 - 二维映射：Henon Map
 - 三维流：Lorenz System
- ③ 进展情况总结
- ④ 阶段性工作成果汇报：Koopman 算符与相空间的划分
- ⑤ 计划进度及安排
- ⑥ 仍需思考并完善的问题
- ⑦ 参考文献



Logistic map 的本征函数 ($m=6$)

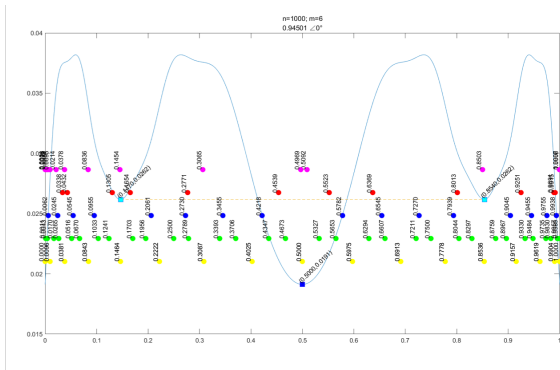


图 6: Logistic map 的本征函数 ($m=6$)

可见，Koopman 算符的极值点与动力学系统的“边界点”得到了较好的吻合。而边界点反映了 Logistic Map 的符号动力学。符号动力学的划分可以一定程度的预测系统的长期行为。



符号动力学

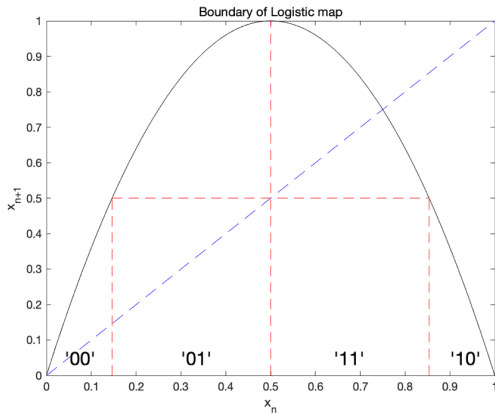


图 7: Logistic Map 的符号动力学划分

- 相空间的任何一点都可以用一个符号动力学序列来表示



Logistic map 的本征函数 (m=100)

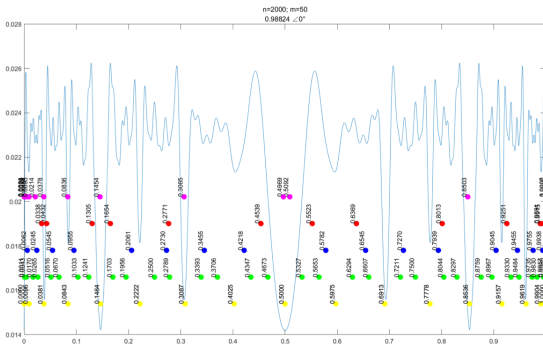


图 8: Logistic map 的本征函数 ($m=100$)

- Koopman 算符的极值点与动力学系统的“边界点”得到了较好的吻合。而边界点反映了 Logistic Map 的符号动力学。符号动力学的划分可以一定程度的预测系统的长期行为。

Koopman 算符是有效的, 但是...

本征函数取决于:

- n : 演化格点个数 (相空间维度)
- m : 基函数个数 (函数空间维度)
- $g(x)$: 基函数 (形式、数量等参数) (形式如 Gauss、Fourier、Rectangle、Legendre)
- λ : 本征值与本征函数 (实、虚、模、幅角)

所以我们得到了一系列的本征函数

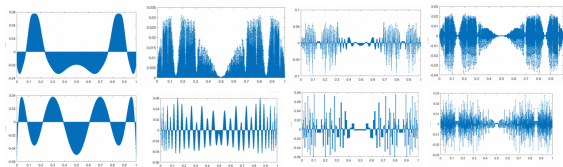


图 9: 其他的一些本征函数



寻找结构简单的本征函数

- $\lambda = 0$ 的本征函数是奇异的, 在本征函数中存在 Jordan 块结构
- $\lambda = 0$ 的本征函数的线性叠加仍为本征函数, 我们求得的本征函数并非最简
- 我们希望能够找到结构“简单”的本征函数, 以更好的划分相空间

一个显然的想法 (但不见的是最好的) 是构造一个我们期望的约束函数, 求其最小值对应的参数, 用公式可描述为

$$\arg \min_{x, \lambda} \alpha \|Ax - \lambda x\| + \beta \|D(x)\|_p$$

- 1 p : p 范数
- 2 $D(x) = (x_2 - x_1, x_3 - x_2, \dots, x_n - x_{n-1})^T$
- 3 $\alpha \gg \beta$ (满足本征函数定义)
- 4 约束: $\|x\| \equiv 1$



Tent map 的本征函数 ($m=4$)

$$U^T = \begin{pmatrix} 0.5 & 0 & 0 & 0.5 \\ 0.5 & 0 & 0 & 0.5 \\ 0 & 0.5 & 0.5 & 0 \\ 0 & 0.5 & 0.5 & 0 \end{pmatrix}$$

图 10:

Koopman 算符的矩阵表示 ($m=4$)

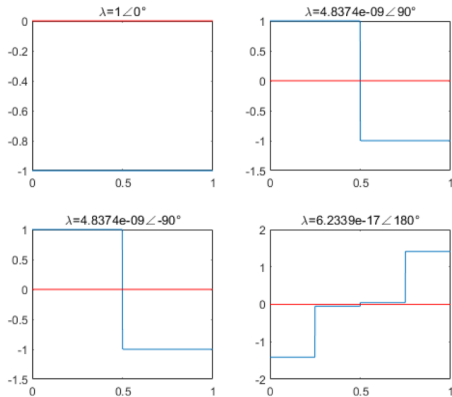


图 11: Tent map 的本征函数

U^T , Tent map, Rectangle basis function, $m=4$



Tent map 的本征函数 ($m=100$)

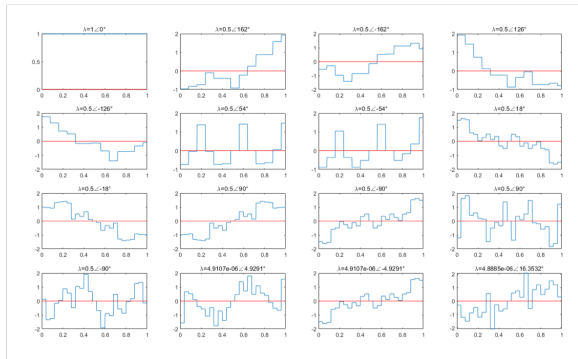


图 12: U^T , Tent map, Rectangle basis function, $m=100$

Tent map 的本征函数 ($m=100$)

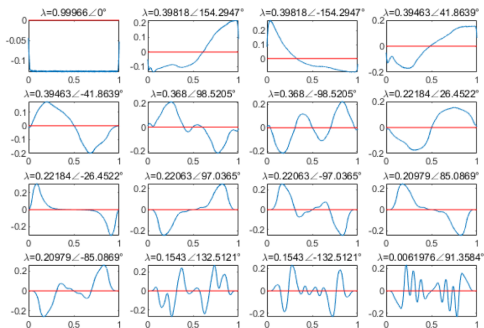


图 13: U^T , Tent map, Gauss basis function, $m=100$

寻找结构简单的本征函数 (迭代法)

$$\mu=0.1, \lambda=0$$

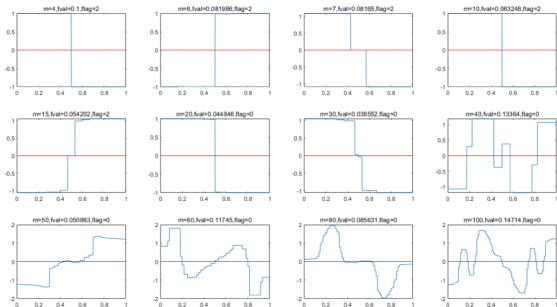


图 14: U^T , Tent map, Rectangle basis function, $m=[4,6,7,10,15,20,30,40,50,60,80,100]$

- 迭代法不能跳出局部最小值



寻找结构简单的本征函数 (随机梯度下降)

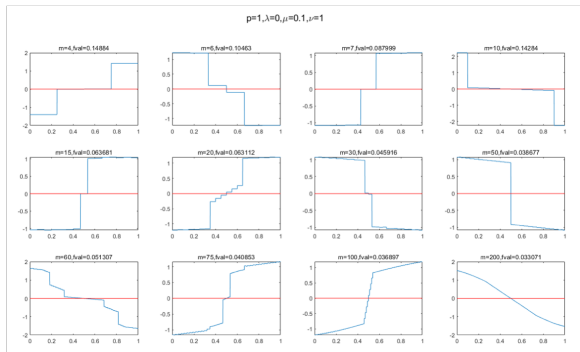


图 15: U^T , Tent map, Rectangle basis function,
 $m=[4,6,7,10,15,20,30,40,50,60,80,100]$

Henon map 的本征函数

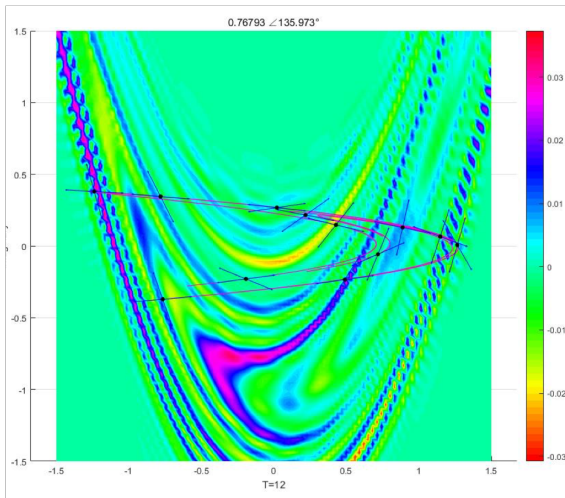
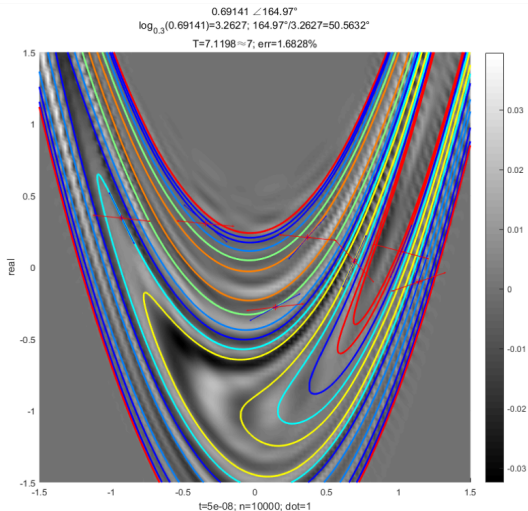


图 16: Henon map 的本征函数

Henon map 的本征函数



Lorenz System 的本征函数

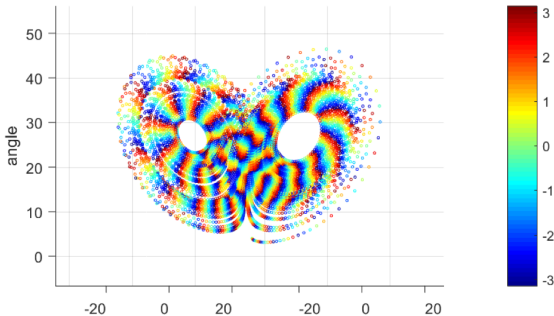


图 18: Lorenz System 的本征函数

Lorenz System 的本征函数

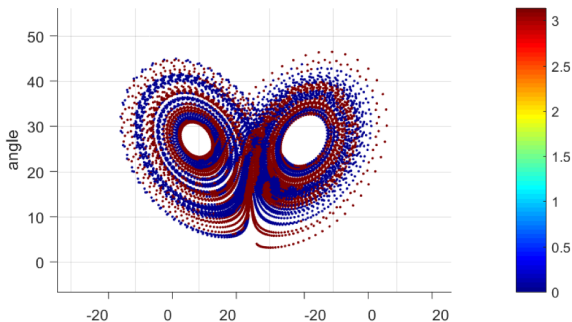


图 19: Lorenz System 的本征函数

本节目录

- ① 研究背景与意义
- ② Koopman 算符介绍
 - 定义
 - Koopman 算符的本征函数
 - 常见的混沌系统
 - 一维映射：Logistic Map
 - 一维映射：Tent Map
 - 二维映射：Henon Map
 - 三维流：Lorenz System
- ③ 进展情况总结
- ④ 阶段性工作成果汇报：Koopman 算符与相空间的划分
- ⑤ 计划进度及安排
- ⑥ 仍需思考并完善的问题
- ⑦ 参考文献



- 

本节目录

- ① 研究背景与意义
- ② Koopman 算符介绍
 - 定义
 - Koopman 算符的本征函数
 - 常见的混沌系统
 - 一维映射：Logistic Map
 - 一维映射：Tent Map
 - 二维映射：Henon Map
 - 三维流：Lorenz System
- ③ 进展情况总结
- ④ 阶段性工作成果汇报：Koopman 算符与相空间的划分
- ⑤ 计划进度及安排
- ⑥ 仍需思考并完善的问题
- ⑦ 参考文献



仍需思考并完善的问题

- ① 如何精确的用一些随机梯度下降算法求得精简的本征值。以及如何跳出局部最优解。
- ② 随着基函数的增多, 本征函数的划分也变得更精确, 如何通过粗粒度的划分来实现细粒度的划分。
- ③ 如果原方程加了噪声, 会对 Koopman 算符本征函数有何影响。
- ④ Koopman 算符的本征函数是否具有鲁棒性。
- ⑤ 如何确定边界点的层次。
- ⑥ 能否用通用的方法画出动力学系统的分界线。
- ⑦ 本征函数的最大值最小值分别表示什么含义。
- ⑧ 基函数的变化是如何影响本征函数的。



本节目录

- ① 研究背景与意义
- ② Koopman 算符介绍
 - 定义
 - Koopman 算符的本征函数
 - 常见的混沌系统
 - 一维映射：Logistic Map
 - 一维映射：Tent Map
 - 二维映射：Henon Map
 - 三维流：Lorenz System
- ③ 进展情况总结
- ④ 阶段性工作成果汇报：Koopman 算符与相空间的划分
- ⑤ 计划进度及安排
- ⑥ 仍需思考并完善的问题
- ⑦ 参考文献



参考文献

- 贾继莹. Koopman 算符在一些动力系统中的应用研究 [D]. 2015.
- Brunton S L, Brunton B W, Proctor J L, et al. Chaos as an intermittently forced linear system[J]. Nature Communications, 2017, 8(1):19.
- Strogatz S H. From Kuramoto to Crawford: exploring the onset of synchronization in populations of coupled oscillators[J]. Physica D, 2000, 143(1-4):1-20.
- Hobson D. An Efficient Method for Computing Invariant Manifolds of Planar Maps[J]. Journal of Computational Physics, 1993, 104(1):14-22.
- Carles Simó. On the Hénon-Pomeau attractor[J]. Journal of Statistical Physics, 1979, 21(4):465-494.
- Pomeau Y, Berre M L. Dynamics of self-gravitating systems : Variations on a theme by Michel Henon[J]. Physics, 2014.
- Gaspard, P. Nicolis, G. Provata, A. Tasaki, S. Spectral signature of the pitchfork bifurcation: Liouville equation. Physical Review E, 1995.
- Gaspard P, Tasaki S. Liouvillian dynamics of the Hopf bifurcation[J]. Physical Review E, 2001, 64(5):056232.
- Korda M, Putinar M, Mezić, Igor. Data-driven spectral analysis of the Koopman operator[J]. 2017.
- Lan Y, Cvitanović P. Variational method for finding periodic orbits in a general flow[J]. Physical Review E, 2004, 69(1):016217.
- Steven H. Strogatz. Nonlinear dynamics and chaos: with applications to physics, biology, chemistry, and engineering [M]. Perseus Books Publishing, 2000
- Igor Mezić. Spectral Koopman operator in dynamical systems. Springer, 2017



致谢

感谢各位老师莅临指导

北京邮电大学理学院
张聪

